

A1 (21) **386785** (22) 2008 12 11

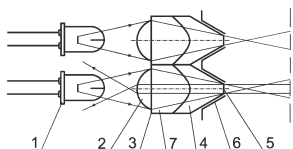
(51) **G09F 9/302** (2006.01)
G09F 9/33 (2006.01)
G09F 13/22 (2006.01)
F21V 11/00 (2006.01)
E01F 9/00 (2006.01)

(71) INSTYTUT OPTYKI STOSOWANEJ, Warszawa;
 INSTYTUT BADAWCZY DRÓG I MOSTÓW, Warszawa
 (72) LITWIN DARIUSZ; KRYSZCZYŃSKI TADEUSZ;
 GALAS JACEK; CZYZEWSKI ADAM

(54) **Modułowy układ optyczny tablicy świetlnej**

(57) Układ składa się z diod LED (1) usytuowanych w osi jednakowych soczewek pręcikowych o przekroju poprzecznym w kształcie wielokąta, w szczególności kwadratu, sześciokąta lub ośmiokąta, tworzących modułowy ekran tablicy. Każda soczewka pręcikowa ma wypukłą część paraboliczną (2) o obrysie kołowym uformowaną w równobocznej podstawie (3) soczewki od strony diody LED (1), zaś powierzchnia czołowa (4) ma kształt stożka ściętego o kącie ostrym, zakończony w części wierzchołkowej płaską powierzchnią kołową (5).

(9 zastrzeżeń)



Data wprowadzenia zmiany zastrzeżeń: 2009 11 30

DZIAŁ H

ELEKTROTECHNIKA

A1 (21) **386756** (22) 2008 12 10(51) **H01J 37/26** (2006.01)

(71) INSTYTUT TECHNOLOGII ELEKTRONOWEJ, Warszawa
 (72) PŁUSKA MARIUSZ; CZERWIŃSKI ANDRZEJ;
 RATAJCZAK JACEK; KATCKI JERZY

(54) **Sposób redukcji periodycznych zakłóceń obrazów rejestrowanych w skaningowym mikroskopie elektronowym**

(57) Przedmiotem wynalazku jest sposób redukcji periodycznych zakłóceń obrazów rejestrowanych w skaningowym mikroskopie elektronowym za pomocą powolnego skanowania. W sposobie tym, najpierw badany preparat skanuje się w kierunku prostopadłym do kierunku oddziaływania zakłóceń na wiązkę elektronową i rejestruje się obraz. Obraz rejestruje się z taką prędkością skanowania, aby czas rejestracji pojedynczej linii był dłuższy niż 40 ms i stanowił wielokrotność okresu pierwszej składowej harmonicznej zakłóceń. Następnie na zarejestrowanym obrazie wybiera się obszar zawierający co najmniej jedną, korzystnie poziomą krawędź z co najmniej trzema okresami deformacji i wyznacza się wektor przebiegu krawędzi $d(m)$, gdzie d jest współrzędną punktu krawędzi dla danej linii m . Później za pomocą synchronicznej analizy widmowej wyznacza się charakterystykę amplitudową i fazową widma wektora $d(m)$. Z charakterystyki amplitudowej wyznacza się punkty od a_1, \dots, a_n , przy czym punkt a_1 ma największą wartość dla współrzędnej $f > 3$, a kolejne punkty a_1, \dots, a_n mają współrzędne $2f, \dots, nf$. Z charakterystyki fazowej wybiera się punkty Φ_1, \dots, Φ_n o współ-

rzędnych f, \dots, nf i z zależności: $c(m) = a_1 \sin(2\pi f m + \Phi_1) + a_2 \sin(4\pi f m + \Phi_2) + \dots + a_n \sin(2n\pi f m + \Phi_n)$ gdzie: m , oznacza numer pionowej linii zaznaczonego obszaru, oblicza się wektor korekcji. Po czym wybiera się obszar obrazu przeznaczony do korekcji, dla którego ekstrapoluje się ten wektor i zgodnie z nim przesuwa się kolejne linie pionowe wybranego obszaru.

(1 zastrzeżenie)

A1 (21) **386730** (22) 2008 12 08

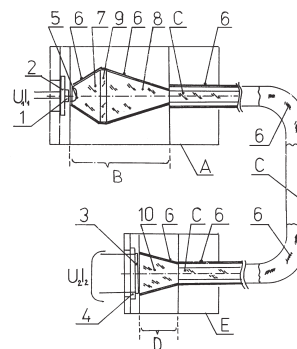
(51) **H01L 31/00** (2006.01)
G02B 27/00 (2006.01)
G02B 6/00 (2006.01)

(71) AKADEMIA GÓRNICZO-HUTNICZA
 IM. STANISŁAWA STASZICA, Kraków
 (72) WOJNAR EDWARD; SZYPER MICHAŁ

(54) **Optyczny transmiter energii elektrycznej**

(57) Rozwiązanie, zawierające przetwornik elektrooptyczny zasilany ze źródła energii elektrycznej i sprzężone z nim łącze optyczne zawierające światłowód charakteryzuje się tym, że jeden koniec światłowodu (C) jest połączony za pomocą kleju z objętościowym układem optycznym (B), którego powierzchnia od strony elektroluminescencyjnej powierzchniowej diody mocy (1) ma półsferyczne wybranie (5), przy czym dioda mocy (1), która jest osadzona na płaskim radiatorze (2) i jest zasilana ze źródła mocy elektrycznej (U_{11}) oraz objętościowy układ optyczny (B) wraz z początkowym odcinkiem światłowodu (C) umieszczone są na wspólnej osi optycznej w pierwszej dzielonej obudowie (A) w jej osi symetrii. Drugi koniec światłowodu (C) jest doprowadzony bezpośrednio do oświetlanego obiektu albo w innej wersji wynalazku, połączony jest z drugim objętościowym układem optycznym (D) w kształcie stożka ściętego (10), którego dolna podstawa usytuowana jest w pobliżu fotodetektora (3), przy czym układ optyczny (D) i fotodetektor (3) umieszczone są w drugiej dzielonej obudowie (E). Boczne powierzchnie układów optycznych (B i D) oraz światłowód (C) odcinkami są pokryte metalicznym filmem lustrzanym (6).

(12 zastrzeżeń)

A1 (21) **386823** (22) 2008 12 16

(51) **H01M 2/10** (2006.01)
H01M 2/20 (2006.01)

(71) IMPACT AUTOMOTIVE TECHNOLOGIES SPÓŁKA
 Z OGRANICZONĄ ODPOWIEDZIALNOŚCIĄ, Pruszków
 (72) CIOSEK MARCIN PAWEŁ; KRAS BARTŁOMIEJ STEFAN;
 MAKOMASKI KONRAD;
 HEILIGENSTEIN JEROME JEAN, FR

(54) **Sposób łączenia biegunów ogni elektrycznych oraz złącze biegunów ogni elektrycznych**

(57) Sposób łączenia i złącze ma zastosowanie zwłaszcza do modułów bateryjnych wykorzystywanych w systemach zasilania samochodów z napędem elektrycznym lub hybrydowym. Sposób charakteryzuje się tym, że płaskie bieguny dwóch sąsiednich ogni elektrycznych styka się ze sobą i zaciska z jednoczesnym ich wyginaniem pomiędzy elementami kształtującymi. W powstającym złączu bieguny (4, 5) dwóch sąsiednich ogni elektrycznych (1)